

Find semi- empirical relationship to calculate the electronic stopping power of Carbon and Oxygen ions in some organic compounds

استنباط علاقة شبه تجريبية لحساب قدرة الإيقاف الإلكتروني لأيونات الكاربون والأوكسجين في بعض المركبات العضوية .

**ا.م.د. راشد عويد كاظم م.م. شهله عبد السادة كاظم
جامعة الكوفة - كلية التربية للبنات - قسم الفيزياء**

البحث مستل من رسالة الماجستير للباحث الثاني

الخلاصة :-

تم في هذا البحث استنباط علاقة شبه تجريبية لحساب قدرة الإيقاف الإلكتروني للجسيمات المشحونة (أيونات الكاربون والأوكسجين) المتفاعلة مع المركبات العضوية

[polypropylene(C_3H_6) , Polycarbonate($C_{16}H_{14}O_3$), Mylar ($C_{10}H_8O_4$), Polyvinylalcohol (C_2H_4O), Polyoxyethylene (CH_2O), Polyacrylonitrile (C_3H_3N), Polyvinylpyrrolidone ($C_6 H_9 N$ [باعتماد النسبة O] , Polyvinylacetate ($C_4H_6O_2$), Kapton ($C_{22} H_{10} N_2 O_5$), Bakelite ($C_{44} H_{36} O_6$) SRIM ، ضمن مدى الطاقة [0.01-1000 MeV] ، ومن خلال مقارنة النتائج المستحصلة مع نتائج برنامج الـ

SRIM 2012 لنفس القذائف في تلك المركبات فقد أظهرت توافقاً جيداً مع نتائج الـ SRIM 2012 .

الكلمات المفتاحية: - قدرة الإيقاف الإلكتروني ، العلاقات شبه التجريبية ، برنامج الـ SRIM 2012 .

Abstract :-

In this research find semi-empirical relationships to calculate the electronic stopping power of charged (Carbon ions and Oxygen ions) interacting with organic compounds : - [Polypropylene (C_3H_6), Polycarbonate ($C_{16}H_{14}O_3$), Mylar ($C_{10}H_8O_4$), Polyvinylalcohol (C_2H_4O), Polyoxyethylene (CH_2O), Polyacrylonitrile (C_3H_3N), Polyvinylpyrrolidone ($C_6 H_9 NO$), Polyvinylacetate ($C_4H_6O_2$), Kapton ($C_{22} H_{10} N_2 O_5$), Bakelite ($C_{44} H_{36} O_6$)] using the ratio $\langle \frac{Z_2}{A_2} \rangle$, within range of energy [0.01-1000] MeV, and by comparing the obtained results with the results of the SRIM 2012 program for the same projectiles in these compounds have shown good agreement with the results of the SRIM 2012.

Key words: - electronic stopping power, semi-empirical relations, the SRIM 2012 program.

1- المقدمة :- Introduction

تأخذ عملية فقدان الطاقة للجسيمات المشحونة اهتماماً واسعاً في كافة مجالات الفيزياء الذرية والتلوية ومجالات العلوم الأخرى. وتعتمد عمليات حساب فقدان الطاقة على عوامل أساسية للجسيم الساقط ومادة الهدف من خلال السرعة v والشحنة Z_1e والكتلة (M) بالنسبة للجسيم الساقط وكذلك على صفة ذلك الوسط (أي مادة الهدف) لذلك تختلف عمليات فقدان الطاقة من خلال طبيعة ونوع الجسيم الساقط والوسط [1].

2- النظرية :- Theory

لقد اعتبر بور فقدان طاقة جسيمة مشحونة ثقيلة نشيطة بسبب تصادمها مع الكترونات الذرة وإن الإلكترون يعد تقريباً حر وساكن قبل التصادم [2]. حيث إشتق علاقة قدرة الإيقاف الإلكتروني لكل الكترون هدف من المادة [3] بالاعتماد على الميكانيك الكلاسيكي :

$$S_e = -\frac{dE}{dx} = \frac{4\pi Z_1^2 e^4}{mv^2} \ln \frac{Cmv^3}{Z_1 e^2 \omega} \quad \dots \dots \dots \dots \dots \quad (1)$$

$$-\frac{dE}{dx} = \frac{4\pi Z_1^2 e^4}{mv^2} L_{Bohr} \quad \dots \dots \dots \dots \dots \quad (2)$$

حيث $- S_e \frac{dE}{dx}$ تمثل قدرة الإيقاف الإلكتروني ، $Z_1 e$ شحنة الجسيمة المشحونة الثقيلة ، v سرعتها ، m كتلة الألكترون ، ω شحنته .

$$\text{وأن: } L_{\text{Bohr}} = \ln \frac{Cmv^3}{Z_1 e^2 \omega} = \ln \xi C$$

كما اشتق بيث Bethe صيغة مماثلة لصيغة بور لقدرة الإيقاف الإلكتروني للجسيمات المشحونة الثقيلة معتمداً على الميكانيك الكمي حيث حسب المقطع العرضي التفاضلي باستخدام تقرير بورن الأول لإسطارة الأيون [6,5,2] .

$$-\frac{dE}{dx} = \frac{4\pi e^4 Z_1^2 N}{mc^2 \beta^2} \ln \frac{2mv^2}{I} \quad \dots \dots \dots \dots \dots \dots \dots \quad (3)$$

$$-\frac{dE}{dx} = \frac{4\pi e^4 Z_1^2 N}{mc^2 \beta^2} L_{\text{Bethe}} \quad \dots \dots \dots \dots \dots \dots \dots \quad (4)$$

حيث إن N الكثافة الإلكترونية للهدف β النسبة بين سرعة الجسيمة الساقطة إلى سرعة الضوء و $L_{\text{Bethe}} = \ln \frac{2mv^2}{I}$ يسمى عدد إيقاف بيث إذ $I = \hbar \omega$ معدل جهد التأين .

بالإضافة إلى الدراسات النظرية فالعديد من الدراسات التجريبية أجريت بهدف صياغة علاقات طاقة ومدى قياسية لحساب قدرة الإيقاف . وقد تمت مراجعة الموضوع في العقدين (1950-1960) من قبل عدد من الباحثين مثل Askin و Bethe ، Taylor و Whaling و Barkas ، Berger و Warshaw ، Uehling و Bichsel ، Allision و Whaling ، Warshaw ، Berger و Barkas . وإن أغلب البيانات التجريبية جمعت من قبل على هيئة جداول [7] .

توصل H. V. Gupta و A. K. Chaubey إلى العلاقة التجريبية التالية لقدرة إيقاف البروتونات [7] :-

$$-\frac{dE}{\rho dX} = \frac{a}{A_2} E^{-b} Z_2^c \log E + d \quad \dots \dots \dots \dots \dots \dots \dots \quad (5)$$

إن القيم المناسبة للثوابت a, b, c, d هي $a=915, b=0.85, c=0.145, d=0.635$ ، أما ρ فهي الكثافة للوسط A_2 والوزن النزري Z_2 العدد الذري للوسط (المادة الموقعة) بينما E تمثل الطاقة الحركية للجسيمة الساقطة (القذيفة) بوحدات MeV/amu [7] .

فالعلاقة أعلاه صحيحة ضمن مدى الطاقة MeV/amu (0.7-12) ، والثوابت c, d تم الحصول عليها من مطابقة Schilling و Northcliffe (Fitting) (التي دعيت فيما بعد NS) ، وقد وجدت لتكون مستقلة عن نوع الجسيمة حيث حسبت قدرة الإيقاف بواسطة طريقة التربيعات الصغرى ، أما الثوابت a, b فقد استخلصت من البيانات التجريبية لـ Whaling و Anderson et al وكذلك بيانات NS عند الطاقات الواطئة وقدرة الإيقاف الناتجة تقاس بوحدات $\text{MeV cm}^2/\text{gm}$ و Blann and Pierce [7] . قدرة الإيقاف للايونات الائق من البروتونات يمكن ايجادها بواسطة التعبير المعطى من قبل [7] :-

$$\left(-\frac{dE}{\rho dX} \right)_H = \frac{Z_{\text{eff}}^2}{\gamma_p^2} \left(-\frac{dE}{\rho dX} \right)_P \quad \dots \dots \dots \dots \dots \dots \dots \quad (6)$$

حيث : $Z_{\text{eff}}^2 = \gamma^2 Z_2^2$ ، هنا الطاقة فوق 0.7 MeV لذلك للبروتونات $\gamma_p = 1$ وبتعويض (6) في (5) نحصل على :

$$\left(-\frac{dE}{\rho dX} \right)_H = \gamma^2 Z_2^2 a E^{-b} Z_2^c \log E + d \quad \dots \dots \dots \dots \dots \dots \dots \quad (7)$$

ـ كسر الشحنة الفعالة لإيون طاقته (MeV/amu) E يمكن تخمينها من الصيغة التجريبية لـ Grant Booth و Booth [7] :-

$$\gamma^2 = f(EZ_2^{-4/3})$$

$$f(x) = 1 - \exp(-24.73x + 247.6x^2 - 1131x^3)$$

حيث:- ولحساب قدرة إيقاف جسيمات ألفا من المعادلة (7) ، نفترض بأن الطاقة أكبر من 4 MeV ، كسر الشحنة الفعالة لجسيمات ألفا $\gamma^2 = 1$. وعند الطاقة أقل من 4 MeV اي من 0.7 إلى 1 MeV /amu ، بمطابقة بيانات NS لجسيمات ألفا بواسطة طريقة التربيعات الصغرى وابقاء c و d ثوابت تصبح $a = 3574, b = 0.84$ ، لذا للطاقة بين (0.7-1) MeV/amu لجسيمات ألفا، فإن المعادلة (5) ينبغي ان تعدل الى [7] :-

$$\left(-\frac{dE}{\rho dX} \right) = \frac{3574}{A_2} E^{-0.84} Z_2^{0.145 \log E + 0.635} \quad \dots \dots \dots \dots \dots \dots \dots \quad (8)$$

ـ قدرة الإيقاف في الاهداف المركبة يمكن الحصول عليها بواسطة نظرية الجموع [7] :-

$$\left(-\frac{dE}{\rho dX} \right)_{\text{compound}} = \frac{1}{M_2} \sum_i N_i A_i \left(-\frac{dE}{\rho dX} \right)_i \quad \dots \dots \dots \dots \dots \dots \dots \quad (9)$$

حيث M_2 الوزن الجزيئي للوسط المركب من N من الذرات ذات الوزن الذري A_2 . وكذلك لخُص Ziegler Anderson و Biyanat قدرة إيقاف البروتون التجريبية للعديد من العناصر لمدى واسع من الطاقات. وللحصول على القيم لكل العناصر على مدى مستمر من طاقات البروتون، قام الباحثون بمطابقة (fitting) المنحنيات مع البيانات التجريبية المتوفرة لتوليد معلمات لإستعمالها في قدرة الإيقاف شبه التجريبية كدالة لطاقة البروتون (keV) E (keV) والعدد الذري Z_2 للهدف . S_e أفترضت لتكون متناسبة مع $E^{0.45}$ للطاقة E keV ، ماعدا $Z_2 \leq 6$ فإنها تتناسب مع $E^{0.25}$ ، ولـ $25\text{KeV} \leq E \leq 10\text{MeV}$ استعمل Ziegler et al العلاقة [8] :-

$$\frac{1}{S_e} = \frac{1}{S_{low}} + \frac{1}{S_{high}} \quad \dots \dots \dots \dots \quad (10)$$

حيث :-

$$S_{low} = A_1 E^{A_2} + A_3 E^{A_4} \quad \dots \dots \dots \dots \quad (11)$$

$$S_{high} = \frac{A_5 \ln \left(\frac{A_6}{E} + A_7 E \right)}{E^{A_8}} \quad \dots \dots \dots \dots \quad (12)$$

S_e قدرة الإيقاف الإلكتروني.

S_{low} قدرة الإيقاف الإلكتروني للطاقات الواطئة والعالية على التوالي . S_{high} قدرة الإيقاف الإلكتروني للطاقة $10\text{MeV} \leq E \leq 2\text{GeV}$ يتطلب استعمال العلاقة التالية [8] :-

$$S_e = A_9 + A_{10} \left(\frac{\ln E}{E} \right) + A_{11} \left(\frac{\ln E}{E} \right)^2 + A_{12} \left(\frac{E}{\ln E} \right) \quad \dots \dots \dots \dots \quad (13)$$

والمعلمات A_i لكل Z_2 متوفرة على شكل جداول الـ TRIM [8] .

3- الحسابات و النتائج :- Calculations and results

في هذا البحث فقد تم اقتراح علاقتان شبه تجريبية لحساب قدرة إيقاف أيونات الكربون والأوكسجين في المركبات العضوية العشرة وقد تم برمجتها ببرنامج حاسوبي بلغة الماتلاب MATLAB للحصول على النتائج النظرية المطلوبة والتي تم توضيحها كرسوم بيانية ومن ثم تم مقارنتها مع نتائج برنامج الـ SRIM 2012 .

3-1 العلاقة شبه التجريبية لحساب قدرة إيقاف أيونات الكربون في المركبات العضوية العشرة:-

لقد تم اقتراح علاقة شبه تجريبية لحساب قدرة إيقاف أيونات الكربون في المركبات العضوية العشرة ضمن مدى الطاقة $[0.01-1000]\text{MeV}$ وذلك باستخدام النسبة $\langle \frac{Z_2}{A_2} \rangle$ ، وبتعويض طاقة الفزيفة ومعدل جهد التأين للوسط تم الحصول على نتائج أكثر تقارب مع نتائج الـ SRIM 2012 ، والعلاقة شبه التجريبية المقترحة هي :

$$S_{emp} = abE^{-1} \quad \dots \dots \dots \dots \quad (14)$$

حيث :-

و

$$a = 70 * \langle \frac{Z_2}{A_2} \rangle \quad \dots \dots \dots \dots \quad (15)$$

حيث :- Z_{2i} العدد الذري و الوزن الذري للعنصر i من عناصر الهدف ، n_i عدد الذرات للهدف (الوسط) .

وأن I تمثل معدل جهد التأين للوسط والتي تحسب كالتالي [10,9] :-

$$I \cong \begin{cases} 19.0 \text{ eV} & , Z_2 = 1 (\text{Hydrogen}) \\ 11.2 + 11.7Z_2 \text{ eV}, & 2 \leq Z_2 \leq 13 \\ 52.8 + 8.71 Z_2 \text{ eV}, & Z_2 > 13 \end{cases} \quad \dots \dots \dots \dots \quad (16)$$

$$\ln \langle I \rangle = \frac{\sum_i n_i Z_{2i} \ln I_i}{\sum_i n_i Z_{2i}} \quad \dots \dots \dots \dots \quad (17)$$

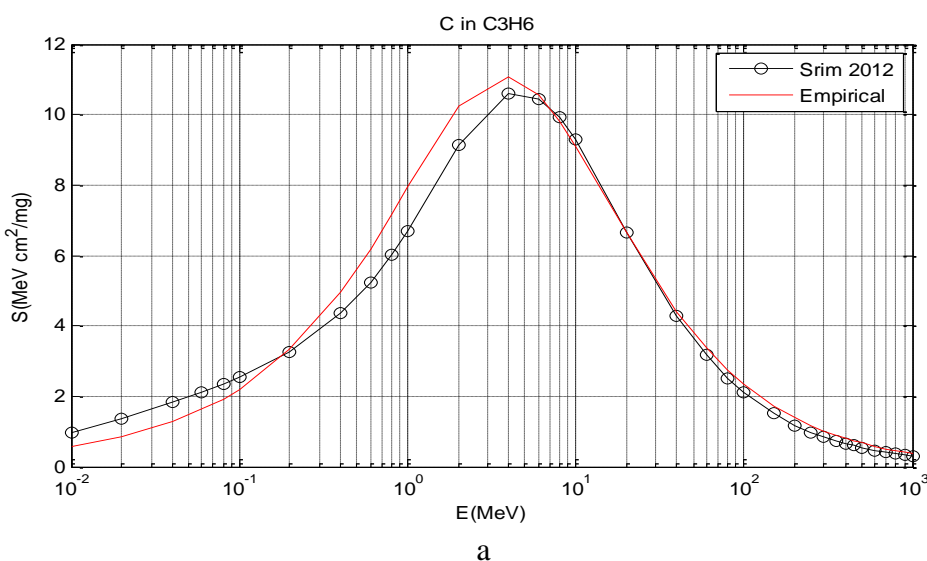
الشكل (1a, b, c,d,e,f,g,e,h,i,j) يوضح ان قدرة الإيقاف تزداد مع الطاقة حتى تصل اعظم قيمة لقدرة الإيقاف عند الطاقة $(3-4)\text{ MeV}$ ثم تبدأ بالقصان كلما تزداد الطاقة .

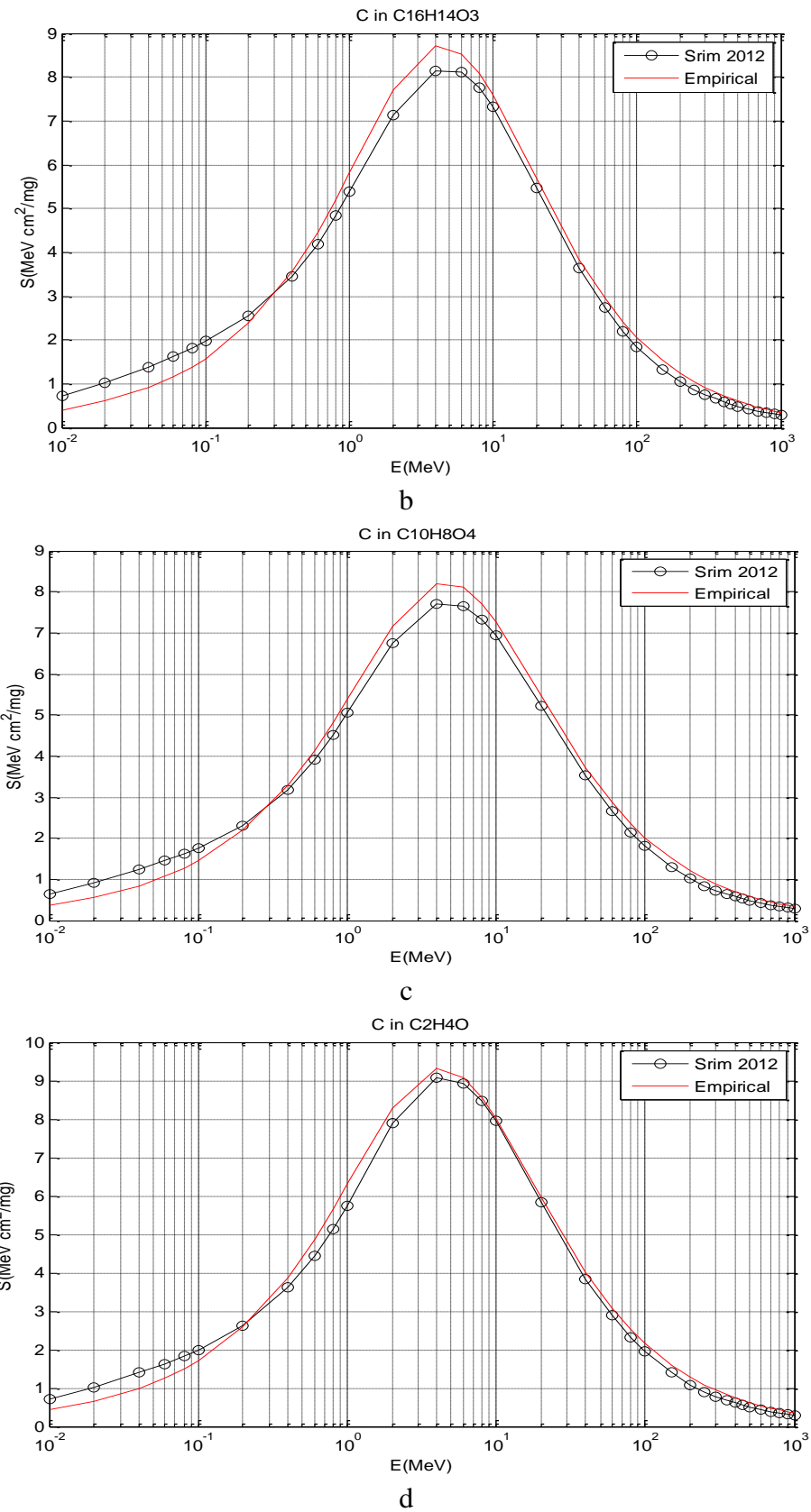
ويكون الإيقاف النووي هو السائد ضمن مدى الطاقة $(0.01-0.2)\text{MeV}$ وتأثير التهيج والتأين يكون ضمن مدى الطاقة $(0.2-40)\text{MeV}$ وضمن مدى الطاقة $(40-1000)\text{MeV}$ يكون الإيقاف الإلكتروني هو السائد .

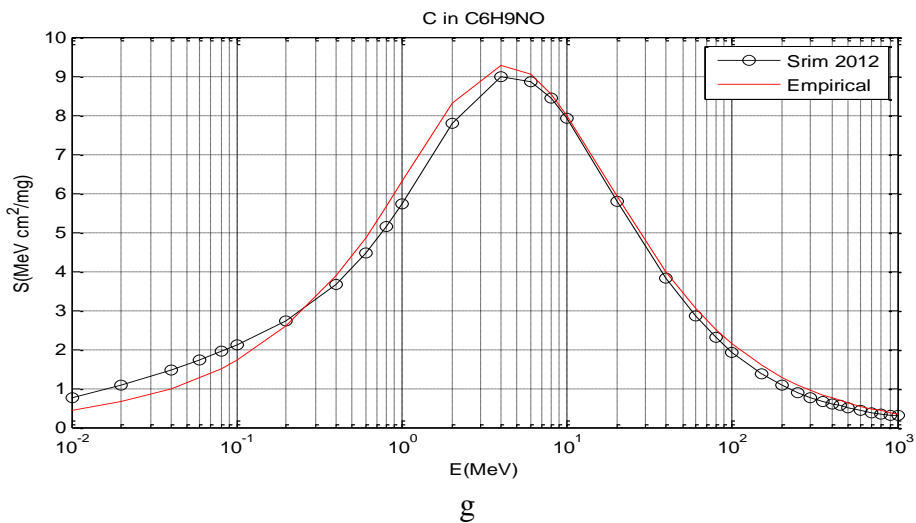
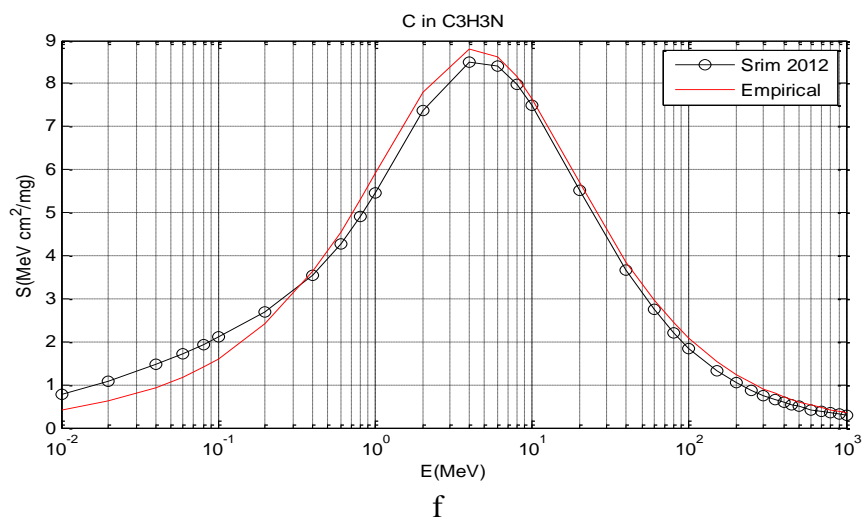
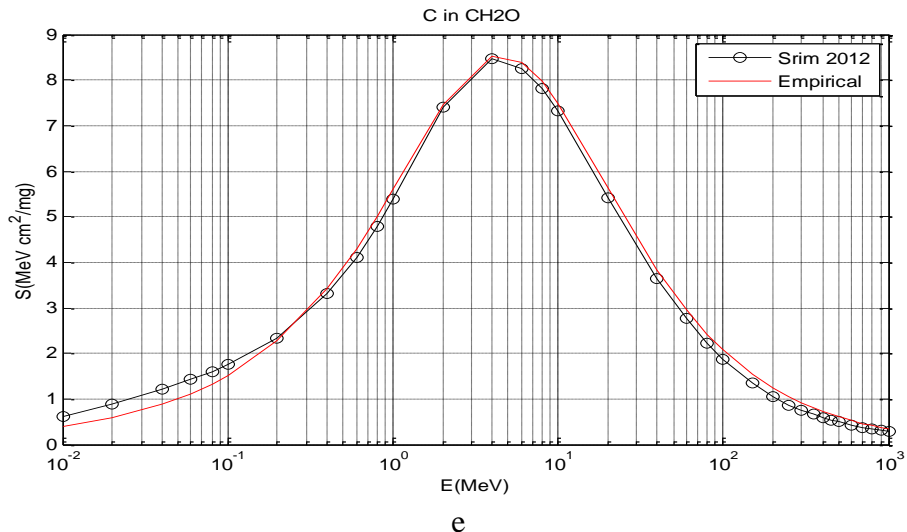
ومن خلال الشكل (j) تم ملاحظة ان النتائج المحسوبة باستعمال الشبه التجريبية المقترنة تتطابق بشكل جيد مع نتائج برنامج الـ SRIM 2012 وكان معامل الارتباط هو (0.998032-0.992748) وكذلك نسبة الخطأ كانت (0.170832-0.42632) كما مبين في الجدول (1).

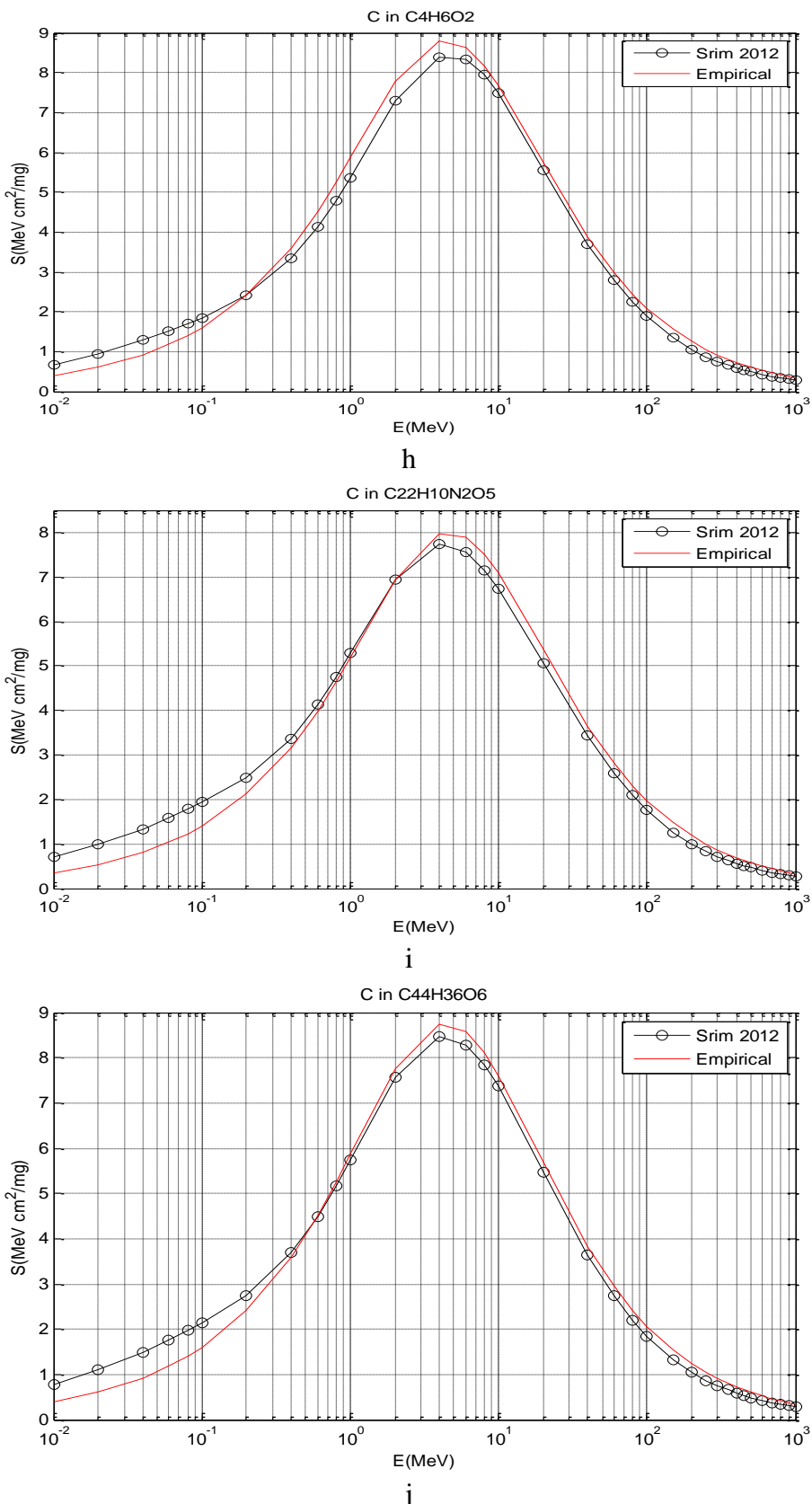
جدول (1) يبيّن الكثافة الكتيلية ومعدل جهد التأين والسبة $\langle \frac{Z_2}{A_2} \rangle$ ومعامل الارتباط ونسبة الخطأ لأيونات الكاربون في المركبات العشرة.

ت	الصيغة المركب	الكثافة الكتيلية $g/cm^3 \rho$	معدل جهد التأين $\langle I \rangle$ eV	السبة $\langle \frac{Z_2}{A_2} \rangle$	معامل الارتباط	نسبة الخطأ
1	C_3H_6 Polypropylene	0.9	56.5429	0.5714	0.992748	0.42632
2	$C_{16}H_{14}O_3$	1.2	73.171	0.5276	0.996403	0.235929
3	$C_{10}H_8O_4$ Mylar	1.4	78.6116	0.5208	0.997232	0.195364
4	C_2H_4O Polyvinylalcohol	1.3	69.53	0.5455	0.997119	0.225541
5	CH_2O Polyoxymethylene	1.425	77.1016	0.5333	0.998032	0.170832
6	C_3H_3N Polyacrylonitrile,	1.17	72.006	0.5283	0.995488	0.267171
7	C_6H_9NO Polyvinylpyrrolidone	1.25	68.75	0.5405	0.996153	0.259948
8	$C_4H_6O_2$ Polyvinylacetate	1.19	73.57	0.5349	0.997428	0.201677
9	$C_{22}H_{10}N_2O_5$ Kapton	1.42	80.368	0.5131	0.994039	0.27826
10	$C_{44}H_{36}O_6$ Bakelite	1.4	72.5149	0.5273	0.995194	0.274042









شكل (1a, b, c,d,e,f,g,e,h,i,j) يوضح العلاقة بين قدرة الإيقاف الإلكتروني لأيونات الكربون المارة خلال (C₃H₆) , (C₁₆H₁₄O₃) , (C₁₀H₈O₄) , (C₂H₄O) , (C H₂O) , (C₃H₃N) , (C₆H₉NO) ، الأهداف ، على التوالي. (C₄H₆O₂) , (C₂₂H₁₀N₂O₅) , (C₄₄H₃₆O₆)

3- العلاقة شبه التجريبية لحساب قدرة إيقاف أيونات الاوكسجين في المركبات العضوية العشرة :-

لقد تم اقتراح علاقة تجريبية لحساب قدرة إيقاف أيونات الاوكسجين في مركبات العضوية العشرة ضمن مدى الطاقة [0.01-1000] MeV وذلك باستخدام النسبة $\langle \frac{Z_2}{A_2} \rangle$ ، وبتعويض طاقة الفزنة ومعدل جهد التأين للوسط نحصل على نتائج أكثر تقارب مع نتائج الـ SRIM 2012، والعلاقة شبه التجريبية المقترحة هي :

$$S_{emp} = abE^{-1} \quad \dots \dots \dots \quad (18)$$

$$a = 137.7 * \langle \frac{Z_2}{A_2} \rangle \quad \text{حيث}$$

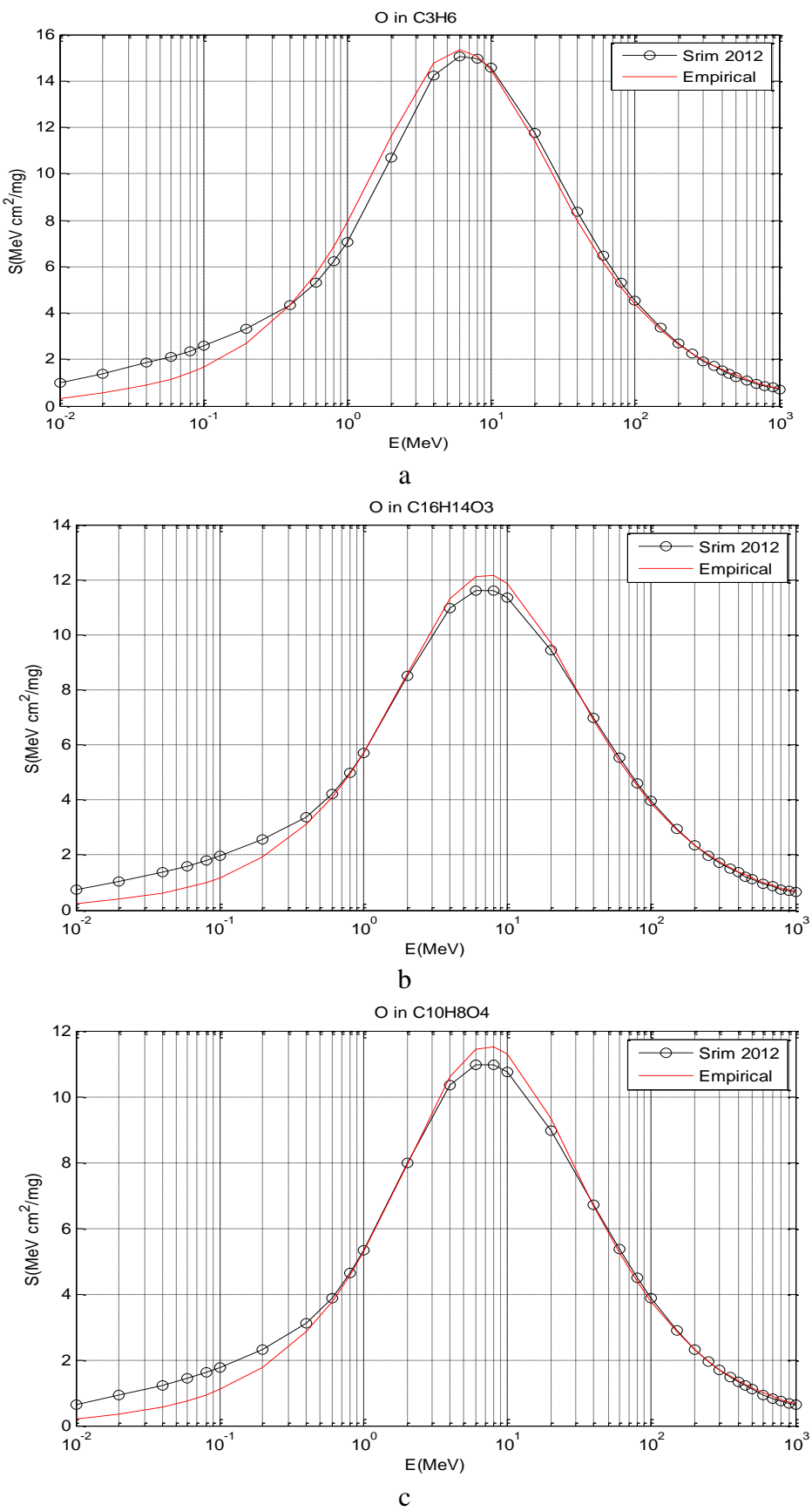
$$b = \ln(1 + 6 * \left(\frac{E^{1.7}}{I}\right)) \quad \text{و}$$

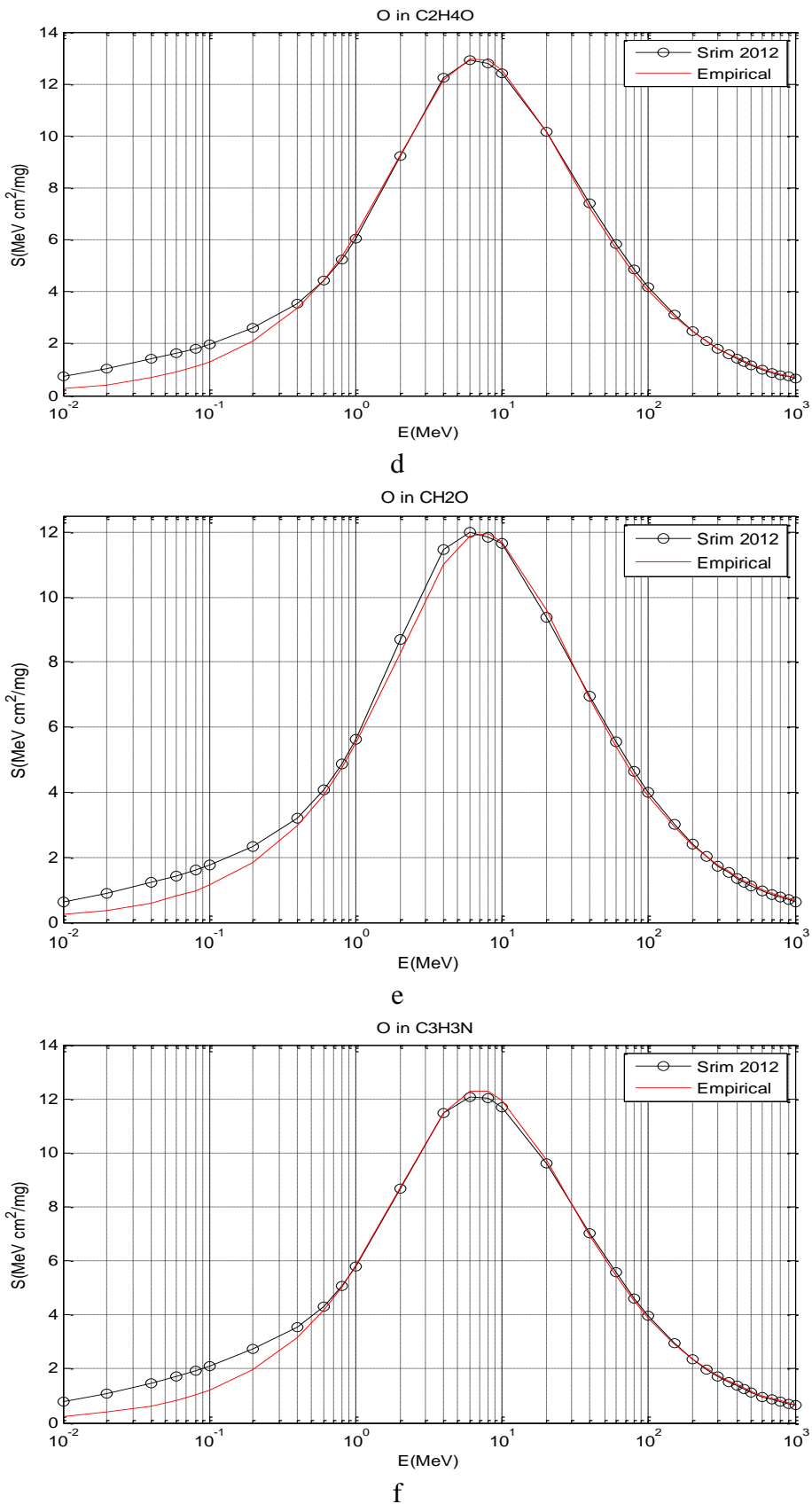
الشكل (1a, b, c,d,e,f,g,e,h,i,j) يوضح ان قدرة الإيقاف تزداد مع الطاقة حتى تصل اعظم قيمة لقدرة الإيقاف عند الطاقة 6-8 MeV ثم تبدأ بالقصاصن كلما تزداد الطاقة . ويكون الإيقاف النووي هو السائد ضمن مدى الطاقة 0.01-0.4 MeV (0.4-100) وضمن مدى الطاقة 100-1000 MeV يكون التهيج والتأين يكون ضمن مدى الطاقة 0.4-100 MeV ومن خلال الشكل (1a,b,c,d,e,f,g,e,h,i,j) تم ملاحظة ان النتائج المحسوبة باستعمال الشبه التجريبية المقترحة تتطابق بشكل جيد مع نتائج برنامج الـ SRIM 2012 وكان معامل الارتباط هو (0.997944-0.994186) وكذلك نسبة الخطأ كانت (0.247482-0.457659) كما مبين في الجدول (2) .

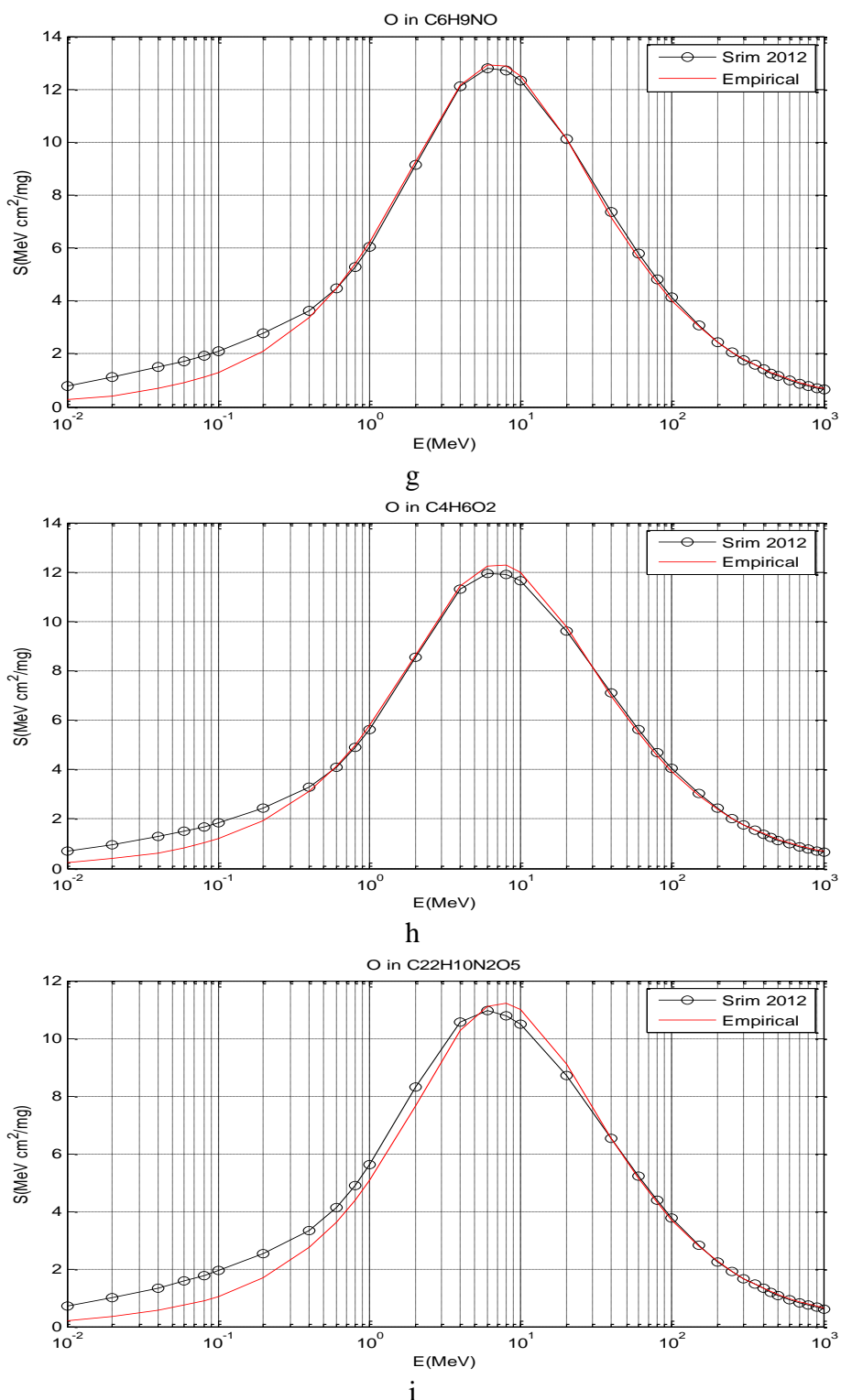
جدول (2) يبين الكثافة الكتالية ومعدل جهد التأين والنسبة $\langle \frac{Z_2}{A_2} \rangle$ ومعامل الارتباط ونسبة الخطأ لأيونات الاوكسجين في المركبات العشرة .

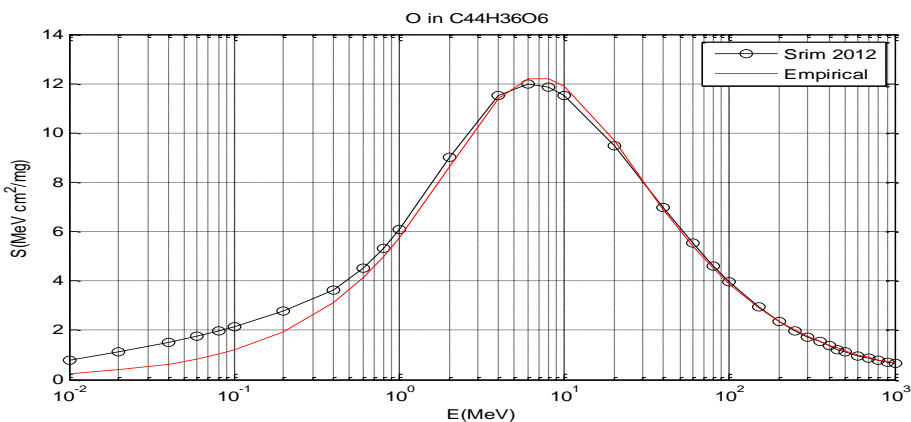
ت	الصيغة المركب	الكثافة الكتالية $g/cm^3\rho$	معدل جهد التأين $\langle I \rangle eV$	النسبة $\langle \frac{Z_2}{A_2} \rangle$	معامل الارتباط	نسبة الخطأ
1	C_3H_6 Polypropylene	0.9	56.5429	0.5714	0.995579	0.457659
2	$C_{16}H_{14}O_3$	1.2	73.171	0.5276	0.996985	0.299227
3	$C_{10}H_8O_4$ Mylar	1.4	78.6116	0.5208	0.997386	0.263478
4	C_2H_4O Polyvinylalcohol	1.3	69.53	0.5455	0.997825	0.27109
5	CH_2O Polyoxymethylene	1.425	77.1016	0.5333	0.997853	0.247482
6	C_3H_3N Polyacrylonitrile,	1.17	72.006	0.5283	0.996475	0.327016
7	C_6H_9NO Polyvinylpyrrolidone	1.25	68.75	0.5405	0.997171	0.308323
8	$C_4H_6O_2$ Polyvinylacetate	1.19	73.57	0.5349	0.997944	0.249786
9	$C_{22}H_{10}N_2O_5$ Kapton	1.42	80.368	0.5131	0.994186	0.38163
10	$C_{44}H_{36}O_6$ Bakelite	1.4	72.5149	0.5273	0.995515	0.36661

جدول (2)









شكل (2) يوضح العلاقة بين قدرة الإيقاف الإلكتروني لأيونات الاوكسجين ألمارة خلال الأهداف ،
 (C_3H_6) ، $(C_{16}H_{14}O_3)$ ، $(C_{10}H_8O_4)$ ، (C_2H_4O) ، $(C H_2O)$ ، (C_3H_3N) ، (C_6H_9NO) ، $(C_4H_6O_2)$ ،
 $(C_{22}H_{10}N_2O_5)$ ، $(C_{44}H_{36}O_6)$ على التوالي.

الاستنتاجات:-

من خلال دراستنا لقدرة الإيقاف الإلكتروني للجسيمات المشحونة الثقيلة (أيونات الكاربون والاوكسجين) في أوساط ذرية مختلفة و المتمثلة بمركبات عضوية يمكن أن نستنتج ان العلاقات (14,18) الشبه تجريبية التي تم استباطها من خلال البحث ابتدأ توافقاً جيداً مع نتائج الـ SRIM 2012 ولذلك كبير من الطاقات (0.01-1000 MeV) وبالتالي فهي مفيدة في دراسة قدرة الإيقاف الإلكتروني للقاذف في المركبات التي تم دراستها في هذا البحث .

References:-

- [1] A . Aziz Al Rubyi , " Increase the range of stopping power of energies ($1 < E(MeV/u) \leq 0.1$) " , M. SC. Thesis , Al - Mustansiriyah University, (1999).
- [2] J. E. Turner, "Interaction of ionizing radiation with matter " , Health Physics, Vol. 86, No.3, p.p. (228-252) , (2004) .
- [3] P. Sigmund , " Low-speed limit of Bohr's stopping-power formula " , Phys. Rev A , Vol.54 , No.4 , p.p. (3113-3118) , (1996).
- [4] A. Schinner and P. Sigmund , " Polarization effect in stopping of swift partially screened heavy ions: Perturbative theory " , Nucl. Instr. and Meth. in Phys. Res. B, Vol. 164, No.165, p.p. (220-229) , (2000) .
- [5] P. Sigmund , "Charge - dependent electronic stopping of swift nonrelativistic heavy ions", Phys. Rev. A , Vol. 56 , No. 5, p.p. (3781-3792) , (1997).
- [6] R. Lozeva , "A new developed calorimeter telescope for identification of relativistic heavy ion reaction channels", Ph. D. thesis , Sofia University ,(2005) .
- [7] A. K. Chaubey and H. V. Gupta," New empirical relations for stopping power and range of charged particles " , revue de physique appliquée , Vol. 12, p.p. (321-329) , (1977) .
- [8] H.H. Andersen and J.F. Ziegler," The Stopping and Ranges of Ions in Matter " , Vol. 2 , Pergamon Press, New York (1977).
- [9] D. E. Groom, N. V. Mokhov, and S. Striganov , " Muon Stopping Power and Range Tables 10 MeV-100 TeV " , Atomic Data and Nuclear Data Tables, Vol. 76, No. 2, p.p. (1-37), (2001).
- [10] J. E. Turner , "Atoms, radiation, and radiation protection " , physics textbook , John Wiley & Sons , (2008) .